

# БЕЗЫЗЛУЧАТЕЛЬНЫЙ ПЕРЕНОС ЭНЕРГИИ ЭЛЕКТРОННОГО ВОЗБУЖДЕНИЯ КВАНТОВОЙ ТОЧКИ К ПЛОСКОЙ ПОВЕРХНОСТИ ПРОВОДНИКА

Чмерева Т.М., д-р физ.-мат. наук, доцент,  
Кучеренко М.Г., д-р физ.-мат. наук, профессор,  
Зарипова О.Ф.  
Оренбургский государственный университет

Взаимодействие полупроводниковых квантовых точек (КТ) с проводящими объектами представляет интерес как с теоретической, так и с практической точек зрения, о чем свидетельствует большое количество работ по данной тематике, опубликованных в последнее время. В структуру разрабатываемых оптоэлектронных устройств нового поколения, основанных на КТ: лазеров, дисплеев, одноэлектронных транзисторов и др. – входят различные элементы, в том числе проводящие слои и нанопроволоки. Поэтому для эффективной работы таких устройств необходима подробная информация о влиянии КТ и проводящих объектов друг на друга.

В работе [1] рассмотрены различные механизмы релаксации электронных возбуждений КТ, а именно внутризонные переходы носителей заряда, сопровождающиеся возникновением объемных и поверхностных плазмонов и фононов, а также связанных плазмон-фононных мод. Авторы работы [1] считают, что эти механизмы релаксации могут играть важную роль в работе устройств на полупроводниковых КТ.

Безызлучательный перенос энергии от возбужденной КТ к нанопроволоке, сопровождающийся рождением одномерного поверхностного плазмона, экспериментально наблюдался авторами работ [2,3]. В работе [4] проведено теоретическое исследование указанного процесса и выполнены расчеты скоростей внутри- и межзонных переходов электрона в КТ, которые при определенных геометрических и электродинамических параметрах системы могут значительно превосходить скорость излучательной рекомбинации электрона и дырки.

В данной работе исследована энергетическая релаксация КТ, расположенной вблизи плоской поверхности проводящей подложки, как показано на рисунке 1. В случае сильного пространственного ограничения движения носителей заряда в КТ проведены расчеты скоростей внутри- и межзонных переходов электрона с испусканием поверхностного плазмона в случае слабого ограничения – скорости перехода КТ из экситонного состояния в основное.

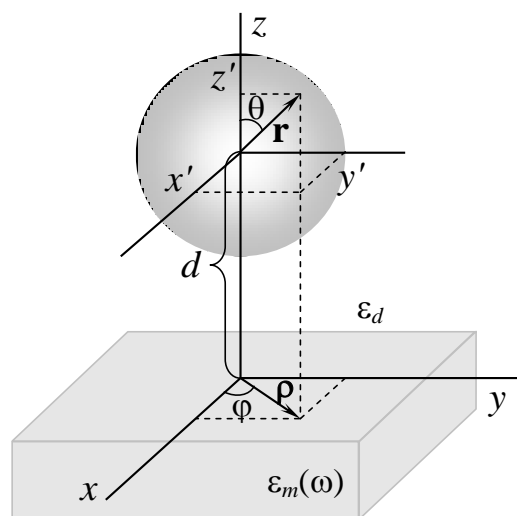


Рисунок 1 – Сферическая квантовая точка над плоской проводящей поверхностью

В результате взаимодействия электронной подсистемы КТ с электрическим полем поверхностного плазмона электрон может переходить из одного энергетического состояния в другое, испуская квант плазменных колебаний. Скорость такого перехода определяется в рамках квантовомеханической теории возмущений

$$U = \frac{2\pi}{\hbar^2} \sum_{\mathbf{k}} \left| \langle \Psi_f | N_k + 1 | \hat{V} | N_k | \Psi_i \rangle \right|^2 \delta(\Omega - \omega(k)), \quad (1)$$

где  $\hat{V} = -e\mathbf{r}\mathbf{E}(\mathbf{p}, z)$  - оператор потенциальной энергии взаимодействия электрона квантовой точки с электрическим полем поверхностного плазмона напряженности  $\mathbf{E}$ ;  $|N_k\rangle$  и  $|N_k + 1\rangle$  - волновые функции состояний с  $N$  и  $N+1$  поверхностными плазмонами с волновым числом  $k$ ;  $\Psi_f$  и  $\Psi_i$  - волновые функции конечного и начального состояний квантовой точки;  $\omega(k)$  - частота поверхностного плазмона;  $\mathbf{k}$  - его волновой вектор ( $k = |\mathbf{k}|$ );  $\hbar\Omega$  - энергия перехода квантовой точки из начального в конечное состояние.

Напряженность поля поверхностного плазмона в среде, содержащей квантовые точки, имеет вид [5]

$$\mathbf{E}_m(\mathbf{p}, z) = \sum_{\mathbf{k}} \sqrt{\frac{2\pi\hbar\omega(k)}{S L(k)}} e^{-k_{zd}z} \left( \mathbf{e}_{\mathbf{k}} + i \frac{k}{k_{zd}} \mathbf{e}_z \right) e^{i\mathbf{k}\mathbf{p}} a_{\mathbf{k}} + \text{э.с.},$$

где  $\mathbf{e}_{\mathbf{k}}$  - единичный вектор, направленный вдоль волнового вектора;  $\mathbf{e}_z$  - единичный вектор нормали к проводящей поверхности, площадь которой  $S$ ;  $a_{\mathbf{k}}$  - оператор уничтожения поверхностного плазмона с волновым вектором  $\mathbf{k}$ . Фактор  $L(k)$  возникает при приведении оператора энергии электромагнитного поля плазмона к вторично-квантованному виду

$$L(k) = \frac{1}{2} \left\{ \frac{1}{2k_{zm}} \left[ \left( 1 + \frac{k^2}{k_{zm}^2} \right) \frac{d(\omega\varepsilon_m)}{d\omega} + \frac{\omega^2}{c^2} \frac{\varepsilon_m^2}{k_{zm}^2} \right] + \frac{1}{2k_{zd}} \left[ \left( 1 + \frac{k^2}{k_{zd}^2} \right) \varepsilon_d + \frac{\omega^2}{c^2} \frac{\varepsilon_d^2}{k_{zd}^2} \right] \right\}.$$

Здесь  $k_{zm(d)} = \sqrt{k^2 - \omega^2\varepsilon_{m(d)}/c^2}$  - коэффициенты, отвечающие за быстроту спада напряженности поля плазмона по мере удаления от проводящей поверхности. Диэлектрическая проницаемость подложки является функцией частоты и определяется в рамках обобщенной модели Друде  $\varepsilon_m(\omega) = \varepsilon_\infty - \omega_{pl}^2/\omega^2$ , где  $\varepsilon_\infty$  и  $\omega_{pl}$  - высокочастотная диэлектрическая постоянная и плазменная частота металла соответственно. Диэлектрическая проницаемость  $\varepsilon_d$  среды, окружающей КТ, предполагается не зависящей от частоты и близкой к диэлектрической проницаемости материала КТ, чтобы линии напряженности электрического поля поверхностного плазмона незначительно преломлялись при переходе через поверхность КТ.

В условиях сильного конфайнмента состояние электрона в КТ можно описывать в рамках формализма огибающей функции

$$\Psi(\mathbf{r}) = \psi_{nlm}(\mathbf{r})u_j(\mathbf{r}),$$

где  $\psi_{nlm}(\mathbf{r})$  – огибающая волновая функция, являющаяся волновой функцией электрона в центрально-симметричной прямоугольной яме с бесконечно высокими стенками [1],  $u_j(\mathbf{r})$  – периодическая с периодом решетки часть блоховской функции энергетической зоны  $j$ . Под  $j$  в рамках двухзонной модели полупроводника подразумевается либо валентная зона (v), либо зона проводимости (c).

При взаимодействии КТ с полем поверхностного плазмона может происходить внутризонная и межзонная релаксация электронных возбуждений КТ. В случае внутризонной релаксации электрон совершает переходы между уровнями размерного квантования зоны проводимости, и матричный элемент оператора взаимодействия электрона с полем поверхностного плазмона преобразуется к виду

$$V_{fi} = \langle \Psi_f | \hat{V} | \Psi_i \rangle = -e \int_{V_{QD}} \psi_{n'l'm'}^*(\mathbf{r}) \mathbf{r} \cdot \mathbf{E}(\boldsymbol{\rho}, z) \psi_{nlm}(\mathbf{r}) d\mathbf{r},$$

где интегрирование ведется по объему КТ.

При межзонной релаксации электрон переходит из зоны проводимости в валентную зону, и для матричного элемента  $V_{fi}$  получается следующее выражение

$$V_{fi} = -e \mathbf{r}_{vc} \cdot \int_{V_{QD}} \psi_{n'l'm'}^*(\mathbf{r}) \mathbf{E}(\boldsymbol{\rho}, z) \psi_{nlm}(\mathbf{r}) d\mathbf{r},$$

где  $e \mathbf{r}_{vc} = e v^{-1} \int u_v^*(\boldsymbol{\xi}) \boldsymbol{\xi} u_c(\boldsymbol{\xi}) d\boldsymbol{\xi}$  – дипольный матричный элемент перехода электрона из зоны проводимости в валентную зону (интегрирование ведется по объему  $v$  элементарной ячейки).

Вычисление скорости переноса энергии по формуле (1) приводит для внутризонных переходов к следующему выражению

$$U_{cc} = \frac{e^2 \omega(k_0) k_0}{L(k_0) \hbar (2l+1)} \sum_{mm'} \int d\alpha \left| \int \psi_{n'l'm'}^*(r, \theta, \varphi) e^{-k_{zd}(d+r \cos \theta)} e^{-ik_0 r \sin \theta \cos(\varphi-\alpha)} \times \right. \\ \left. [\sin \theta \cos(\varphi-\alpha) - i \cos \theta k_0 / k_{zd}] \psi_{nlm}(r, \theta, \varphi) r^3 dr \sin \theta d\theta d\varphi \right|^2 \left. \frac{d\omega}{dk} \right|_{k=k_0}^{-1}. \quad (2)$$

Здесь проведено усреднение по начальным и суммирование по конечным состояниям электрона в КТ. Интегрирование по углу  $\alpha$ , задающему направление волнового вектора поверхностного плазмона, возникает при замене суммирования по  $\mathbf{k}$  в формуле (1) интегрированием в полярных координатах  $(k, \alpha)$ . Кроме того, при выводе (2) учитывалось, что дельта-функцию можно предста-

вить в виде  $\delta(\Omega - \omega(k)) \approx |d\omega/dk|_{k=k_0}^{-1} \delta(k - k_0)$ , где  $k_0$  – корень уравнения  $\omega(k_0) = \Omega$ . При этом интегрирование с дельта-функцией дает подынтегральное выражение в точке  $k_0$ .

Для скорости передачи энергии при межзонном переходе получается формула

$$U_{vc} = \frac{e^2 r_{vc}^2 \omega(k_0) k_0}{3L(k_0) \hbar (2l+1)} \left( 1 + \frac{k_0^2}{k_{zd}^2} \right) \left. \frac{d\omega}{dk} \right|_{k=k_0}^{-1} \sum_{mm'} \int d\alpha \times \quad (3)$$

$$\left| \int \Psi_{n'l'm'}^*(r, \theta, \varphi) e^{-k_{zd}(d+r \cos \theta)} e^{-ik_0 r \sin \theta \cos(\varphi - \alpha)} \Psi_{nlm}(r, \theta, \varphi) r^2 dr \sin \theta d\theta d\varphi \right|^2,$$

в которой произведено усреднение по направлениям дипольного момента перехода электрона из зоны проводимости в валентную зону.

В условиях слабого пространственного ограничения волновая функция основного состояния электронной подсистемы КТ записывается в виде антисимметризованного произведения функций Ванье

$$\Psi_0(\mathbf{r}_1, \mathbf{r}_2, \dots, \mathbf{r}_N) = A a_{\mathbf{R}_1}^V(\mathbf{r}_1) a_{\mathbf{R}_2}^V(\mathbf{r}_2) \cdot \dots \cdot a_{\mathbf{R}_N}^V(\mathbf{r}_N),$$

где  $A$  – оператор антисимметризации,  $\mathbf{r}_j$  – координаты электронов,  $\mathbf{R}_j$  – координаты узлов решетки,  $a_{\mathbf{R}_j}^V(\mathbf{r}_j)$  – функция Ванье валентной зоны.

Пусть  $i$  –ый электрон, находящийся в состоянии Ванье валентной зоны в узле  $\mathbf{R}_i$  переведен в состояние Ванье  $a_{\mathbf{R}_j}^C(\mathbf{r}_i)$  зоны проводимости в узле  $j$ . Тогда волновая функция возбужденного состояния КТ, учитывающая коррелированное движение электрона и дырки имеет вид [6]

$$\Psi(\mathbf{r}_1, \mathbf{r}_2, \dots, \mathbf{r}_N) = \sum_{\mathbf{R}_i, \mathbf{R}_j} C_{\mathbf{R}_i, \mathbf{R}_j} A a_{\mathbf{R}_1}^V(\mathbf{r}_1) a_{\mathbf{R}_2}^V(\mathbf{r}_2) \cdot \dots \cdot a_{\mathbf{R}_j}^C(\mathbf{r}_i) a_{\mathbf{R}_j}^V(\mathbf{r}_j) \cdot \dots \cdot a_{\mathbf{R}_N}^V(\mathbf{r}_N).$$

Коэффициенты  $C_{\mathbf{R}_i, \mathbf{R}_j}$  представляют собой огибающую волновую функцию экситонного состояния  $C_{\mathbf{R}_i, \mathbf{R}_j} = \upsilon \Psi(\mathbf{R}_i, \mathbf{R}_j)$ ,  $\upsilon$  – объем элементарной ячейки.

В этом случае матричный элемент, входящий в (1), приобретает вид

$$V_{fi} = -e \mathbf{r}_{vc} \cdot \int_{V_{QD}} \Psi(\mathbf{R}, \mathbf{R}) \mathbf{E}(\rho, z) d\mathbf{R},$$

где из-за сильной локализации функций Ванье в матричный элемент в основном дают вклад такие состояния, в которых электрон и дырка принадлежат одному узлу  $\mathbf{R}_j = \mathbf{R}_i$ . Как известно [1], огибающая функция экситонного состояния представима в виде произведения двух функций  $\Phi_{nlm}(\mathbf{x}) \Psi_{n'l'm'}(\mathbf{X})$ , первая из которых описывает относительное движение электрона и дырки и явля-

ется водородоподобной функцией, вторая описывает движение экситона, как целого, и представляет собой функцию частицы в бесконечно глубокой сферически симметричной прямоугольной потенциальной яме. Здесь где  $\mathbf{x} = \mathbf{R}_i - \mathbf{R}_j$  - радиус-вектор относительного движения электрона и дырки,  $\mathbf{X} = (m_e \mathbf{R}_i + m_h \mathbf{R}_j) / (m_e + m_h)$  - радиус-вектор центра масс экситона,  $m_{e(h)}$  - эффективная масса электрона (дырки). Таким образом, огибающая функция экситонного состояния приобретает вид

$$\Psi(\mathbf{R}, \mathbf{R}) = \Phi_{nlm}(0) \psi_{n'l'm'}(\mathbf{R}).$$

Водородоподобная волновая функция, не обращающаяся в ноль в начале координат, - это функция s-состояния, в котором угловой момент относительного движения электрона и дырки равен нулю ( $l = 0, m = 0$ ).

Окончательное вычисление скорости переноса энергии приводит к результату

$$U_{\text{ex}} = \frac{e^2 r_{\text{vc}}^2 \omega(k_0) k_0 \Phi_{n00}^2(0)}{3L(k_0) \hbar} \left( 1 + \frac{k_0^2}{k_{zd}^2} \right) \left| \frac{d\omega}{dk} \right|_{k=k_0}^{-1} \times \int d\alpha \left| \int \psi_{n'l'm'}(r, \theta, \varphi) e^{-k_{zd}(d+r \cos \theta)} e^{-ik_0 r \sin \theta \cos(\varphi-\alpha)} r^2 dr \sin \theta d\theta d\varphi \right|^2. \quad (4)$$

При проведении расчетов по полученным формулам (2) – (4) предполагалось, что проводящей подложкой является серебро. Энергия объемного плазмона и высокочастотная диэлектрическая проницаемость серебра принимались равными  $\hbar\omega_{pl} = 9.1 \text{ эВ}$ ,  $\epsilon_\infty = 3.7$  [7]. Диэлектрическая постоянная  $\epsilon_d$  среды над подложкой варьировалась от 4 до 6.

В режиме сильного конфайнмента боровский радиус экситона в объемном полупроводнике должен быть существенно больше радиуса КТ. Этому условию удовлетворяют полупроводниковые нанокристаллы GaAs, CdSe, CdTe, CdS [8], для которых радиусы экситонов составляют 12.5 нм, 6.1 нм, 6.5 нм, 3.1 нм, соответственно. В расчетах скоростей внутризонных и межзонных переходов использовались следующие характеристики объемного полупроводника CdSe: ширина запрещенной зоны  $E_g \approx 1.7 \text{ эВ}$ , эффективные массы электрона и дырки  $m_e = 0.11m_0$  и  $m_h = 0.45m_0$ , где  $m_0$  – масса свободного электрона [9].

Квантовые точки хлорида меди в стеклообразной матрице имеют сферическую форму и служат примером КТ в режиме слабого конфайнмента, когда радиус экситона в объемном материале (0.7 нм) меньше радиуса КТ, который может лежать в диапазоне от 2 до 10 нм в зависимости от условий выращивания нанокристаллов в стекле [1]. Хлорид меди является широкозонным полупроводником с шириной запрещенной зоны равной  $E_g \approx 3.3 \text{ эВ}$ . В расчетах скоростей экситонных переходов значения статической диэлектрической проницаемости, эффективных масс электрона и дырки в объемном CuCl брались из

монографии [1] ( $\epsilon_0 = 5.95$ ,  $m_e = 0.5m_0$ ,  $m_h = 1.6m_0$ ).

На рисунке 2 изображены законы дисперсии поверхностных плазмонов для разных значений диэлектрической проницаемости  $\epsilon_d$  среды, содержащей КТ. Обозначения кривых, соответствующих различным  $\epsilon_d$ , одинаковы для всех рисунков. Прямой линией изображена частота внутризонного перехода между состояниями, характеризующимися квантовыми числами  $n' = 1$ ,  $l' = 1$  и  $n = 1$ ,  $l = 0$ . Из рисунка видно, что с ростом  $\epsilon_d$  координата  $k_0$  точки пересечения дисперсионной кривой и данной прямой смещается в область больших волновых чисел.

На рисунке 3 представлены зависимости квадрата модуля матричного элемента  $|V_{fi}|^2$  внутризонного перехода  $110 \rightarrow 100$  от волнового числа. На рисунке отмечены значения  $|V_{fi}|^2$  в точках пересечения дисперсионных кривых с прямой, соответствующей частоте данного перехода. Как следует из рисунка, с ростом  $\epsilon_d$  значение  $|V_{fi}|^2$  в максимуме уменьшается, однако значения в точках  $k_0$  практически одинаковы.

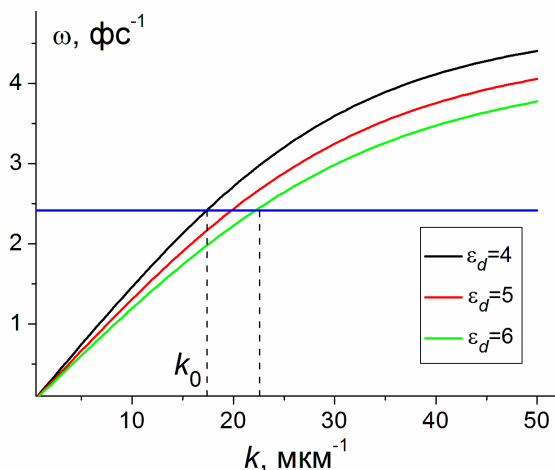


Рисунок 2 – Законы дисперсии поверхностных плазмонов для разных значений диэлектрической проницаемости среды над металлической подложкой

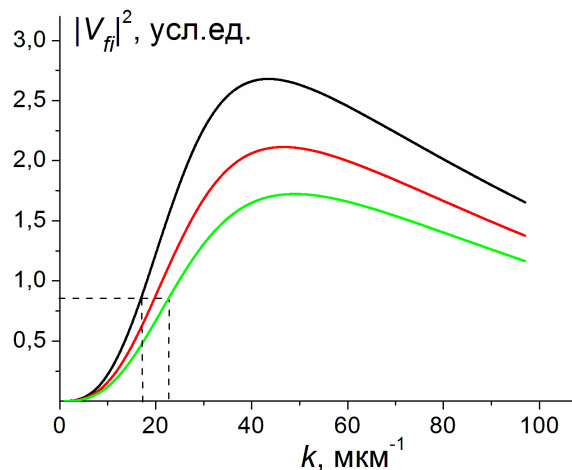


Рисунок 3 – Квадрат модуля матричного элемента внутризонного перехода

На рисунке 4 изображены зависимости скорости  $U_{cc}$  внутризонного перехода  $11 \rightarrow 10$  электрона, рассчитанные по формуле (2), от расстояния  $d$  между поверхностью подложки и центром КТ радиуса  $R = 1.5$  нм. Из рисунка видно достаточно медленное уменьшение скорости с ростом расстояния (при увеличении расстояния в 4 раза скорость падает менее чем в 2 раза), что свидетельствует о слабом затухании напряженности поля поверхностного плазмона вглубь диэлектрической среды в области значений  $k_0$ . Кроме того, с ростом диэлектрической проницаемости среды скорость переноса энергии  $U_{cc}$  увеличивается. Как отмечалось выше, с ростом  $\epsilon_d$  значение координаты  $k_0$  увеличивается, а наклон дисперсионной кривой в этой точке уменьшается, что при неизменном значении квадрата модуля матричного элемента внутризонного перехода приводит к росту скорости  $U_{cc}$ .

Зависимости скорости  $U_{cc}$  переноса энергии от радиуса КТ при постоянном расстоянии  $d = 10$  нм изображены на рисунке 5. С ростом радиуса КТ частота внутризонного перехода резко падает, что и ведет за собой снижение ско-

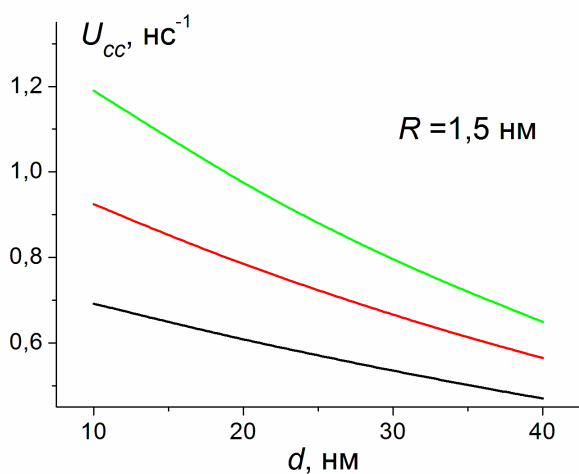


Рисунок 4 – Дистанционные зависимости скорости внутризонной релаксации

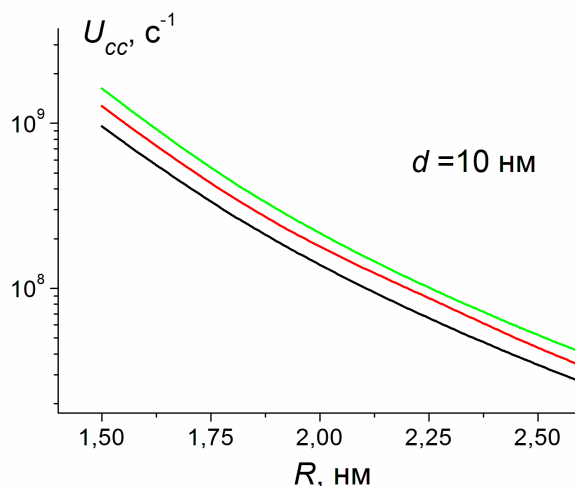


Рисунок 5 – Зависимости скорости внутризонной релаксации от радиуса КТ

рости  $U_{cc}$ .

На рисунках 6 и 7 представлены аналогичные зависимости для скоростей  $U_{vc}$  межзонного перехода  $100 \rightarrow 100$ . Зависимость скорости  $U_{vc}$  от расстояния между центром КТ и поверхностью подложки более резкая, чем для внутризонного перехода (рисунок 4). Поскольку энергия межзонного перехода больше, то

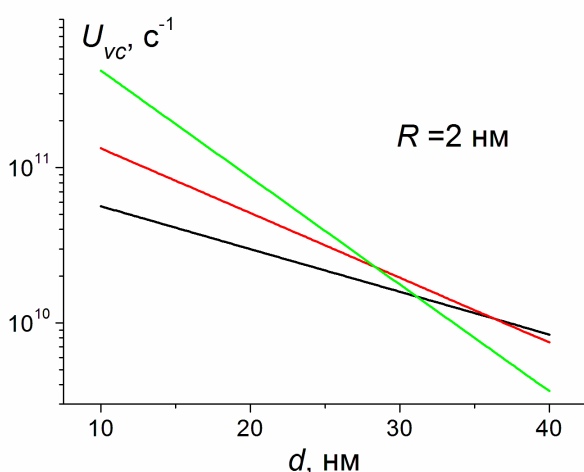


Рисунок 6 - Дистанционные зависимости скорости межзонной релаксации

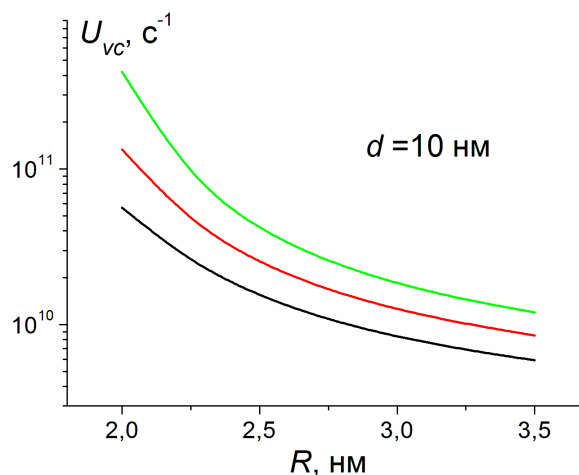


Рисунок 7 - Зависимости скорости межзонной релаксации от радиуса КТ

больше и значение волнового числа  $k_0$ , и напряженность поля плазмона быстрее спадает с расстоянием от поверхности подложки. С ростом радиуса КТ скорость  $U_{vc}$  убывает, стремясь к постоянному значению, которое получается для объемных полупроводников.

Как показывают расчеты, дистанционные зависимости скорости  $U_{ex}$  безызлучательного переноса энергии экситонного перехода к подложке имеют вид, аналогичный случаю межзонной релаксации (рисунок 6). С ростом радиуса скорость  $U_{ex}$  растет, как показано на рисунке 8, в отличие от случаев внутри- и межзонной релаксации (рисунки 5 и 7).

Следует отметить, что проведенные расчеты показали, что поле поверхностного плазмона слабо изменяется в пределах квантовой точки, поэтому при вычислении скорости безызлучательного переноса энергии при любом переходе электрона можно использовать значение напряженности поля в центре КТ.

Таким образом, в ходе проведенного исследования получены зависимости скорости энергетической релаксации КТ от различных геометрических и электродинамических характеристик системы и показано, что данная скорость может на несколько порядков превосходить скорость излучательной рекомбинации электрона и дырки. Поэтому при разработке устройств, содержащих квантовые точки и проводящие слои, необходимо учитывать рассмотренные процессы тушения возбужденных состояний КТ.

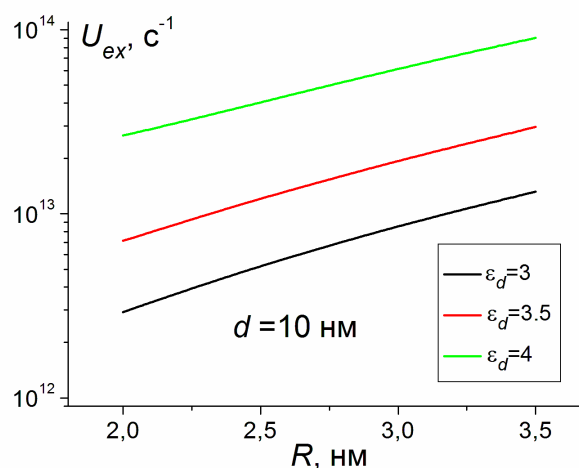


Рисунок 8 - Зависимости скорости безызлучательного переноса энергии экситонного перехода к подложке от радиуса КТ

#### Список литературы

1. Федоров, А.В. *Оптические свойства полупроводниковых квантовых точек: монография* / А.В. Федоров, И.Д. Рухленко, А.В. Баранов, С.Ю. Кручинин. – Санкт-Петербург : Наука, 2011. -188с. - ISBN 978-5-02-025402-2.
2. Akimov, A.V. *Generation of single optical plasmons in metallic nanowires coupled to quantum dots* / A. V. Akimov, A. Mukherjee, C. L. Yu, D. E. Chang, A. S. Zibrov, P. R. Hemmer, H. Park, M. D. Lukin // *Nature Letters*. - 2007. -V. 450. - P. 402-406.
3. Fedutik, Y. *Exciton-Plasmon-Photon Conversion in Plasmonic Nanostructures* / Y. Fedutik, V.V. Temnov, O. Schops, and U. Woggon // *Phys. Rev. Lett.* – 2007. - V. 99. - P. 136802.
4. Чмерева, Т.М. *Тушение электронно-возбужденных состояний квантовых точек металлической нанопроволокой* / Т. М. Чмерева, М.Г. Кучеренко, А.Д. Дмитриев // *Оптика и спектроскопия*. – 2015. - Т. 118. - № 1. - С. 300–306.
5. Archambault, A. *Quantum theory of spontaneous and stimulated emission of surface plasmons* / A. Archambault, F. Marquier, J.-J. Greffet, C. Arnold // *Phys. Rev. B*. – 2010. – V. 82. - P 035411.
6. Купчак, И.М. *Характеристики экситонов и экситонная фотолю-*

*минесценция структур с кремниевыми квантовыми точками / И.М. Купчак, Д.В. Корбутяк, Ю.В. Крюченко, А.В. Саченко, И.О. Соколовский, О.М. Сресели // Физика и техника полупроводников. – 2006. –Т. 40. – вып. 1. – С. 98-107.*

7. *Климов, В.В. Наноплазмоника : монография / В.В. Климов. -Москва: Физматлит, - 2009. - 480 с. – ISBN 978-5-9221-1030-3.*

8. *Карпов, С.В. Электрон-дырочные возбуждения в квантовых точках CdSe в условиях сильного и промежуточного конфайнмента / С.В. Карпов, С.В. Микушев // Физика твердого тела. – 2010. – Т. 52. - вып. 8. – С. 1627-1633.*

9. *Таблицы физических величин : справочник / под ред. И.К. Кикоина. – Москва: Атомиздат, - 1976. – 1008с.*